

V-20 平板の塑性ヒンジ周辺の応力について

室蘭工業大学 正員 能町純雄

1. はじめに 平板が曲げを受けた場合荷重が増加するにつれて板の一部に塑性ヒンジに相当する破壊線が発達し断面の主曲げモーメント M_1, M_2 がとり得る最大の抵抗曲げモーメントすなわち塑性モーメント M_p があつて、この塑性曲げモーメントが荷重と釣合う状態を最後として破壊線が発達し崩壊するものと考えられること。ここで板内のどの点においても塑性モーメント M_p を超えない条件として最大主曲げモーメント説に従えば、塑性条件は

$$\left| \frac{M_x + M_y}{2} \pm \frac{1}{2} \sqrt{(M_x - M_y)^2 + 4M_{xy}} \right| \leq M_p , \quad (1)$$

以上のことを前提として、塑性ヒンジが矩形板の中心に先づ一線分状に発生するような荷重状態について初期塑性ヒンジが発生した場合のその近傍の曲げ応力の分布について解説を試みる。板は四辺とも單純支持で $x=0, y=0$ の二つの中央線に亘して対称な sinusoidal load ($\gamma \cos \pi x/d \cdot \cos \pi y/c$) を受けその荷重強度が増加して中央に一線分状に $2b$ なる塑性ヒンジが発生したと考える。この場合の板のタクミ w を二つに分けて塑性ヒンジがない場合のこの板の荷重によるタクミ $w^{(1)}$ と塑性ヒンジの影響による附加タクミ $w^{(2)}$ の和として表わす。塑性ヒンジが小さい間は $w^{(2)}$ の境界四辺に対する影響は小さくその境界条件を乱さないと考え可差支えない。

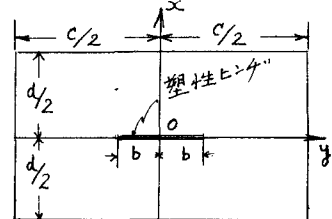


図. 1

2. 理論解式 板のタクミ、 x 方向曲げモーメント、 x 方向剪断力等は

$$w = w^{(1)} + w^{(2)}, \quad M_x = M_x^{(1)} + M_x^{(2)}, \quad S_x = S_x^{(1)} + S_x^{(2)}, \quad (2)$$

釣合の式は $N \Delta^2 w^{(1)} = \gamma \cos \pi x/d \cdot \cos \pi y/c$, $\Delta^2 w^{(2)} = 0$, (3)

$$(w^{(1)})_{x \rightarrow \infty} = 0 \quad (4)$$

題意によつて M_x の最大値は $c > d$ とすれば $x=0$ なる線上に沿うて生ずるから、この位置で x 方向剪断力 S_x は 0 でなければならぬ。ところが $(S_x^{(1)})_{x=0}$ であるから (2) から

$$(S_x^{(2)})_{x=0} = \frac{\partial^3 w^{(2)}}{\partial x^3} + \frac{\partial^3 w^{(2)}}{\partial x \partial y^2} \Big|_{x=0} = 0, \quad (5)$$

次に塑性ヒンジ上では M_x は塑性モーメント M_p を超ることができないから

$$(M_x)_{x=0} = M_x^{(1)} + M_x^{(2)} \Big|_{x=0} = M_p \quad |y| \leq b \quad (6)$$

$M_x^{(1)}$ の $x=0$ に沿う分布は $y=0$ の中央直上で最大となる対称形の連続したなめらかな曲線であるから塑性ヒンジの長さ $2b$ が小なる時はその曲線を $2b$ 内で抛物線と見做すことができる。従つて $M_x^{(1)}$ の最大値を M_0 とすれば”(図. 2 参照)”

$$M_x^{(1)} = M_0 - B(y/b)^2, \quad |y| \leq b$$

従つて条件(6)は次のようになる。

$$M_x^{(\omega)}|_{x=0} = -N \left(\frac{\partial^2 w^{(\omega)}}{\partial x^2} + \nu \frac{\partial^2 w^{(\omega)}}{\partial y^2} \right) |_{x=0} = M_p - M_o + B \left(\frac{y}{b} \right)^2, \quad |y| \leq b$$

板のx方向slopeは、塑性ヒンジ以外で連続していふ。

$$\therefore \frac{\partial w}{\partial x}|_{x=0} = \frac{\partial w^{(\omega)}}{\partial x}|_{x=0} = \frac{\partial w^{(\omega)}}{\partial x}|_{x=0} = 0, \quad |y| \geq b. \quad (9)$$

$$w^{(\omega)} \text{は(3)式から} \quad w^{(\omega)} = \frac{8}{N\pi^4} \frac{\cos \frac{\pi x}{2} \cdot \cos \frac{\pi y}{b}}{\left(\frac{1}{c^2} + \frac{1}{d^2} \right)^2} \quad (10)$$

$w^{(\omega)}$ は(3), (4), (5)式から

$$w^{(\omega)} = \int_0^\infty A e^{-\lambda x} \cos \lambda y d\lambda. \quad (11)$$

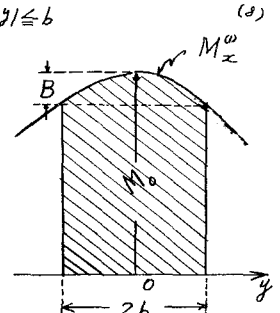


図.2

Aは(8)と(9)から次のようにならわされる。

$$\begin{aligned} N \int_0^\infty A (1-\nu) \lambda^2 \cos \lambda y d\lambda &= M_o - M_p - B \left(\frac{y}{b} \right)^2 \\ \int_0^\infty A \lambda \cos \lambda y d\lambda &= 0 \end{aligned} \quad \left. \begin{array}{l} |y| \leq b \\ |y| \geq b \end{array} \right\} \quad (12)$$

を満足するようにならめる。上式は Dual の積分式で計算の結果

$$\pi N (1-\nu) \lambda^2 A = \frac{1}{4} b^2 \pi^2 \lambda \left[4 \sqrt{\pi} (M_o - M_p) (\lambda b)^{-1} J_1(b\lambda) + \int_{\frac{\pi}{2}}^{\frac{\pi}{2}} B \left\{ 4 (b\lambda)^{-1} J_1(b\lambda) - 8 (b\lambda)^{-2} J_2(b\lambda) \right\} \right]. \quad (13)$$

これによつて $x=0$ における $M_x^{(\omega)}$ の分布を計算すれば

$$M_x^{(\omega)}|_{x=0} = \left\{ \begin{array}{l} M_p - M_o + B \left(\frac{y}{b} \right)^2, \quad |y| \leq b \\ - (M_o - M_p) \left(1 - \frac{y}{\sqrt{y^2 - b^2}} \right) - \frac{B}{2} \left(\frac{\sqrt{y^2 - b^2} - y}{b} \right)^2, \quad |y| \geq b \end{array} \right\} \quad (14)$$

$M_x^{(\omega)}|_{x=0}$ の分布は連続でなければならぬ、従つて $|y| \geq b$ の式中不連続を表わす項は0となるべきである。故に

$$M_o - M_p - \frac{B}{2} = 0, \quad \therefore B = 2(M_o - M_p) \quad (15)$$

これによつて

$$M_x|_{x=0} = \left\{ \begin{array}{l} M_p, \quad |y| \leq b \\ M_o + (M_o - M_p) \left(\frac{\sqrt{y^2 - b^2} - y}{b} \right)^2, \quad |y| \geq b \end{array} \right\} \quad (16)$$

(16)は塑性ヒンジが $|y| \leq b$ の間に生じた場合のこの荷重による弾性的最大曲げモーメントか塑性モーメント M_p を $\sqrt{2}b/2$ の間に渡つて超過した時に塑性ヒンジが $2b$ に渡つて発生すれば安定であることを示している。(15)式のAを(11)式に代入すれば M_x, M_{xy} を計算して塑性ヒンジが生じた時の曲げモーメントの分布を求めることができます。これによつて極限設計の一つの手かりを得ることができます。この研究は昭和35年度科学研究所費をうけたものである。